

симула. — М., 1967. — 180 с. 3. Справочник проектировщика расчетно-теоретический. Кн. 2. М.—Л., 1973. — 194 с. 4. Х а м у т о в с к и й А.С. Об оптимальном проектировании стоек ступенчато-переменного сечения. — В сб.: Вопр. стр-ва и архитектуры. Минск, 1977, вып. 7, с. 147—153.

УДК 624.014.072.2

Н.Н. МУРАШКО, канд.техн.наук
(БИСИ)

ТЕОРЕТИЧЕСКОЕ ИССЛЕДОВАНИЕ УЗЛОВ С ПРОДОЛЬНЫМИ РЕБРАМИ В ТРУБЧАТЫХ СТАЛЬНЫХ КОНСТРУКЦИЯХ

Основываясь на разработанной авторами методике решения контактной задачи для продольного ребра [1,2], рассмотрим более общий случай нагружения оболочки трубы через нерадиально поставленные продольные ребра (рис. 1). По-прежнему исходим из технической моментной теории упругих тонких цилиндрических оболочек [3] в предположении их шарнирного опирания по торцам. Жесткость ребер полагаем неограниченной в своей плоскости и пренебрежимо малой из плоскости, игнорируя тем самым их толщину и считая, что силовое поле целиком совпадает с плоскостью ребра.

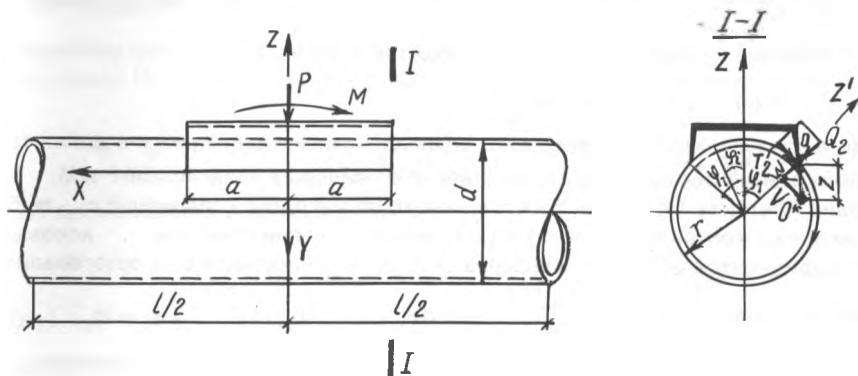


Рис. 1. Общий случай нагружения оболочки трубы через продольные ребра.

На оболочку через парные параллельные продольные ребра длиной $2a$, расставленные на $2r\varphi_1$ по дуге окружности цилиндра радиуса r , действует нагрузка, результирующий вектор и момент которой определяются из выражений

$$P = 4r \sum_{\kappa=0,1,2,\dots} A_{\kappa} \int_0^{\xi_0} q_{\kappa}(\xi) d\xi; \quad M = 4r^2 \sum_{\kappa=0,1,2,\dots} A_{\kappa} \int_0^{\xi_0} q_{\kappa}(\xi) \xi d\xi, \quad (1)$$

где A_{κ} — коэффициенты контактной нагрузки, или коэффициенты ряда функций $q_{\kappa}(\xi) = q_{\kappa}^C(\xi) + \xi_{\kappa} q_{\kappa}^K(\xi)$, аппроксимирующего контактную нагрузку

ку ребра; q_K^C и q_K^K — соответственно базисная четная или нечетная функция относительно середины ребра; $\xi = x/r$ — относительная продольная координата. Коэффициенты контактной нагрузки A_K и ξ_K определяются из условия совместности перемещений продольного ребра и поверхности оболочки в месте их контакта с учетом взаимного влияния соседних ребер. Согласно рис. 1, перемещение ребра в произвольной точке запишется в следующем виде: $Z(\xi) = W(\xi) \cos \varphi_1 + V(\xi) \sin \varphi_1 = [W_Q(\xi, 0) + W_Q(\xi, 2\varphi_1) + W_T(\xi, 0) + W_T(\xi, 2\varphi_1)] \cos \varphi_1 + [V_Q(\xi, 0) + V_Q(\xi, 2\varphi_1) + V_T(\xi, 0) + V_T(\xi, 2\varphi_1)] \sin \varphi_1$, (2)

где W_Q, V_Q, W_T, V_T — соответственно радиальные и тангенциальные перемещения точек контакта поверхности оболочки с рассматриваемым ребром ($\varphi=0$) или с соседним ребром ($\varphi=2\varphi_1$) от радиальной $Q_2(\xi)$ и тангенциальной $T_2(\xi)$ компонент контактной нагрузки. Разложив в ряд по базисным функциям решения оболочки функции контактной нагрузки q_K , можно записать выражения для поперечного и тангенциального усилий:

$$Q_2(\xi) = \cos \varphi_1 \sum_{\kappa=0,1} \sum_{n=1,2} A_{\kappa n} a_{\kappa n} f_n(\xi); T_2(\xi) = Q_2(\xi) \operatorname{tg} \varphi_1, \quad (3)$$

где коэффициенты

$$a_{\kappa n} = \frac{4}{l} \int_0^{\xi_0} q_{\kappa}(\xi) f_n(\xi) d\xi; f_n(\xi) = \frac{1-(-1)^n}{2} \cos \lambda_n \xi + \frac{1+(-1)^n}{2} \sin \lambda_n \xi.$$

Условие контакта для ребра запишется в виде

$$F(\xi) = Z(\xi) - \theta_1 h - \theta_2 \frac{h}{a} r \xi = 0, \quad (4)$$

где θ_1 и θ_2 — коэффициенты, учитывающие перемещение ребра в долях толщины стенки оболочки h соответственно от силовых воздействий P и M . Условие контакта (4) может быть решено либо методом коллокаций с выбором точки контакта на длине ребра ξ_i ; в соответствии с числом искомых коэффициентов контактной нагрузки A_K и ξ_K , либо методом ортогонализации Бубнова—Галеркина

$\int_0^{\xi_0} F(\xi) q_i^C(\xi) d\xi = 0; \int_0^{\xi_0} F(\xi) q_i^K(\xi) d\xi = 0; i = 0, 1,$

$2, \dots, \kappa$. В любом случае приходим к системе линейных алгебраических уравнений относительно искомых коэффициентов контактной нагрузки. Входящие в выражение (2) радиальное и тангенциальное перемещения от радиальной нагрузки $Q(\xi)$ запишутся следующими выражениями [1]:

$$\begin{pmatrix} W_Q(\xi, \varphi_1) \\ V_Q(\xi, \varphi_1) \end{pmatrix} = \cos \varphi_1 \sum_{j=1} \sum_{\kappa=0,1} \sum_{n=1,2} A_{\kappa n} a_{\kappa n} \beta_n f_n(\xi) \begin{pmatrix} F_{jn}(\varphi_1) \\ F_{jn}^*(\varphi_1) \end{pmatrix}; \quad (5)$$

$$F_{jn}(\varphi_1) = C_{jn} A_{jn}(\varphi_1) + D_{jn} B_{jn}(\varphi_1);$$

$F_{jn}^*(\varphi_1) = C_{jn}(\eta_{jn} A_{jn}(\varphi_1) + \gamma_{jn} B_{jn}(\varphi_1)) + D_{jn}(\eta_{jn} B_{jn}(\varphi_1) - \gamma_{jn} A_{jn}(\varphi_1)); \eta_{jn}, \gamma_{jn}$ — коэффициенты связи, определяемые из условия совместности перемещений

$$\nabla^4 V + (2 + \mu) \frac{\partial W}{\partial \xi} \frac{\partial W}{\partial \varphi} + \frac{\partial^3 W}{\partial \varphi^3} = 0; A_{jn}(\varphi_1) = e^{-a_{jn}\varphi_1} \cos b_{jn}\varphi_1;$$

$$B_{jn}(\varphi_1) = e^{-a_{jn}\varphi_1} \sin b_{jn}\varphi_1;$$

коэффициенты a_{jn} , b_{jn} находятся из решения однородного уравнения равновесия полой оболочки

$$\nabla^8 W + 12(1 - \mu^2) \left(\frac{r}{h}\right)^2 \frac{\partial^4 W}{\partial \xi^4} = 0. \quad (6)$$

Удерживаемые в решении четыре константы интегрирования при затухающих функциях C_{jn} , D_{jn} определяются из условия неразрывности оболочки при $\varphi = 0$, которые являются следствием симметричной деформации оболочки при радиальной нагрузке:

$$V_n = 0; \frac{\partial W_n}{\partial \varphi} = 0; \frac{\partial U_n}{\partial \varphi} = 0. \quad (7)$$

Присоединяя к ним условие нормирования компонентов радиального перемещения ($W_n(0) = 1$), получим 4 условия для определения констант C_{jn} , D_{jn} . Наконец, принимая во внимание равенство внешней нагрузки поперечным силам в двух сечениях при $\varphi = 0$: $\cos \varphi \sum_{k=0,1} A_k a_{kn} - 2Q_{2n} = -\frac{2D}{r^3} \frac{\partial^3 W}{\partial \varphi^3}$

ределяем функцию влияния n -й единичной компоненты контактной нагрузки ($Q_n = 1$) на амплитудное значение радиального перемещения

$$\beta_n = \frac{1}{2Q_{2n}} = \frac{r^3}{2D \sum_{j=1,2} [C_{jn} a_{jn} (a_{jn}^2 - 3b_{jn}^2) + D_{jn} b_{jn} (b_{jn}^2 - 3a_{jn}^2)]}. \quad (8)$$

Из тех же соображений определяются

$$\left. \begin{matrix} W_T(\xi, \varphi_1) \\ V_T(\xi, \varphi_1) \end{matrix} \right| = \sin \varphi_1 \sum_{j=1,2} \sum_{k=0,1} \sum_{n=1,2} A_k a_{kn} \beta_n f_n(\xi) \begin{matrix} \bar{F}_{jn}(\varphi_1) \\ \bar{F}_{jn}^*(\varphi_1) \end{matrix}, \quad (5^*)$$

где выражения $\bar{F}_{jn}(\varphi_1)$ и $\bar{F}_{jn}^*(\varphi_1)$ совпадают соответственно с $F_{jn}(\varphi_1)$ и $F_{jn}^*(\varphi_1)$, но вместо значений констант C_{jn} и D_{jn} принимаются другие значения C_{jn}^* и D_{jn}^* , получаемые из новых условий неразрывности оболочки ($\varphi_1 = 0$) при кососимметричной деформации оболочки от нагрузки $T(\xi)$:

$$U_n^* = 0; W_n^* = 0; \frac{\partial^2 W_n^*}{\partial \varphi^2} = 0. \quad (7^*)$$

Присоединяя к ним условие нормировки компонентов тангенциального перемещения ($V_n^*(0) = 1$), получаем опять систему из 4 алгебраических уравнений для определения C_{jn}^* , D_{jn}^* , после чего, учитывая, что при $\varphi_1 = 0$, имеет место равенство усилий, т.е.

$$\sin \varphi_1 \sum_{\kappa=0,1} A_{\kappa n} a_{\kappa n} = 2T_{2n} \frac{-2Eh}{(1-\mu^2)} \left(\frac{\partial V^*}{\partial \varphi} + W^* \right), \text{ находим}$$

$$\beta_n^* = \frac{r(1-\mu^2)}{2Eh \sum_{j=1;2} [C_{jn}^* (b_{jn} \gamma_{jn} - a_{jn} \eta_{jn}) + D_{jn}^* (b_{jn} \eta_{jn} + a_{jn} \gamma_{jn})]} \quad (8^*)$$

Учитывая, что в силу условий неразрывности (7) и (7') $W_T(\xi, 0) = V_Q(\xi, 0) = 0$, а также малое влияние компонентов $W_T(\xi, 2\varphi_1)$ и $V_Q(\xi, 2\varphi_1)$ на решение задачи, можно записать для $Z(\xi)$ выражение: $Z(\xi) = [W_Q(\xi, 0) + W_Q(\xi, 2\varphi_1)] \cos \varphi_1 + [V_T(\xi, 0) + V_T(\xi, 2\varphi_1)] \sin \varphi_1 = \sum_{j=1;2} \sum_{\kappa=0,1} \sum_{n=1,2} A_{\kappa n} a_{\kappa n} f_n [\beta_n (1 + F_{jn}(2\varphi_1)) \cos^2 \varphi_1 + \beta_n^* (1 + \bar{F}_{jn}^*(2\varphi_1)) \sin^2 \varphi_1]$. (9)

С использованием полученных формул был проведен расчет длинной цилиндрической стальной оболочки трубы $\varnothing 219 \times 5$ мм и длиной $l=3,0$ м на действие продольного момента M , приложенного к парным ребрам. При этом варьировалась длина ребер ($a/r=1,1$ и $3,3$) и их взаимное расположение

($\varphi_1=0; \frac{\pi}{4}; \frac{\pi}{3}; \frac{\pi}{2}$). В качестве функций контактных нагрузок приняты [4]

$q_o^k = \frac{r}{a} \xi$; $q_k^k = \sin k\pi \frac{r}{a} \xi$ для $k=1-4$. При $\xi_K=1$ для четных $n=2-100$ получены значения коэффициентов разложения функции внешней нагрузки

$$a_{0n} = \frac{4}{\pi n} \left(\frac{\sin a_n}{a_n} - \cos a_n \right); a_{\kappa n} = (-1)^\kappa \frac{4}{\pi n} \frac{k\pi/a_n}{1 - (k\pi/a_n)^2} 2 \sin a_n;$$

$$a_n = \frac{\pi n a}{l}. \quad (10)$$

Контактная задача решалась методом коллокаций, для чего на половине длины ребра a принималось 5 точек контакта, располагаемых с равным интервалом. После определения A_{κ} был вычислен по формуле (1) внешний продольный момент M . Внутренние силовые факторы вычислялись по формулам технической моментной теории цилиндрических оболочек [3]. При этом принималось, что $W = W_Q + W_T$; $V = V_Q + V_T$; $M_i = M_i^Q + M_i^T$; $T_i = T_i^Q + T_i^T$. В качестве иллюстрации для $a/r=1,1$; $a/r=3,3$ и при угле обхвата $\varphi_1=\pi/2$ на рис. 2 приведены эпюры контактных нагрузок и перемещений, а на рис. 3 изгибающих моментов M_i и цепных усилий T_i в кольцевом сечении $l-l$ трубы под концами продольных ребер, располагаемых по касательной к поверхности оболочки.

Как видно из рис. 2, 3, с увеличением длины и углов обхвата трубы продольными ребрами несущая способность значительно возрастает. Напряженное состояние оболочки определяется нормальными напряжениями кольцевого направления, которые превосходят продольные в 1,5-2 раза. При $\varphi_1=$

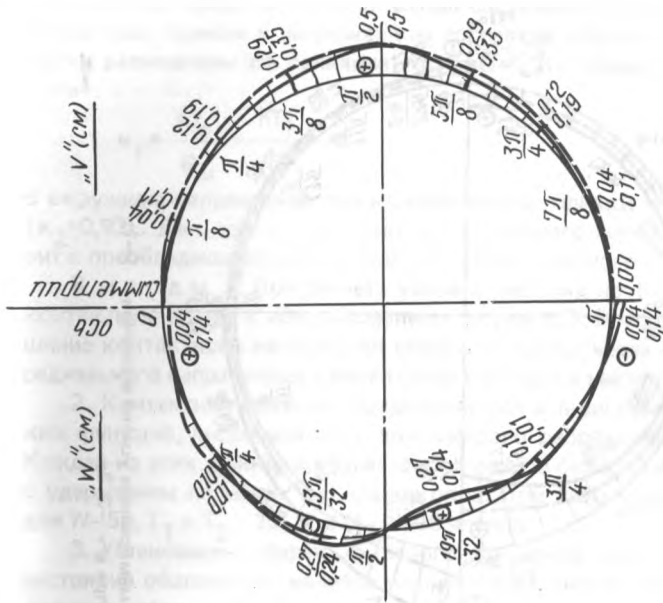
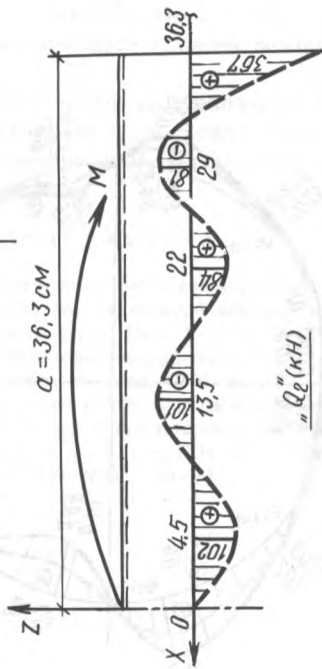
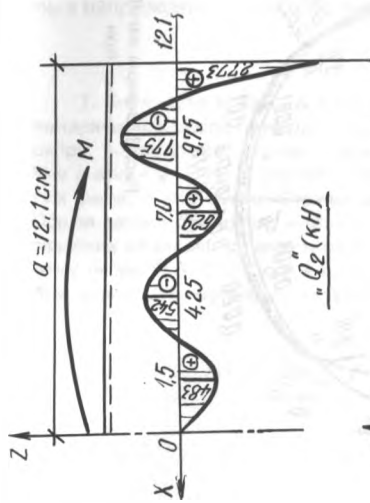


Рис. 2. Эпюры контактных нагрузок и перемещений в сечении I— I: — при $a/r = 1,1$; --- при $a/r = 3,3$.

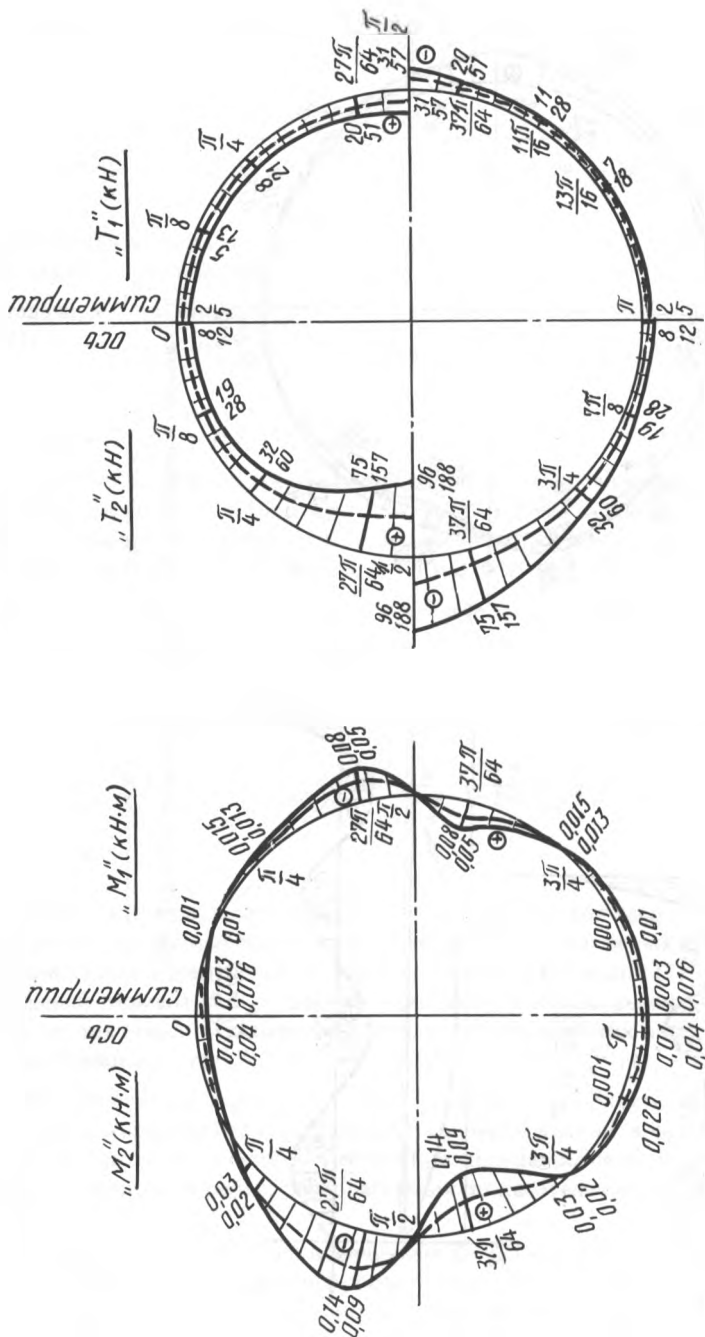


Рис. 3. Эпюры изгибающих моментов и мембранных усилий в сечении 1-1: — при $a/r=1$; - - - - при $a/r=3$.

$= \pi/2$ цепные продольные напряжения составляют 25–30% соответствующих кольцевых, причем в напряженном состоянии оболочки мембранные напряжения равноценны по величине изгибным, что характеризуется их отношением

$$\kappa_i = \frac{\sigma_{i0}}{\sigma_{iu}} = \frac{hT_i}{6M_i} \quad (11)$$

В окружном направлении эти коэффициенты близки к единице ($\kappa_2 = 0,72$) и ($\kappa_2 = 0,93$). Для других значений φ_i , κ_i намного меньше единицы, что говорит о преобладающей роли моментного напряженного состояния.

В ы в о д ы. 1. При расчете узлов с ребрами необходимо рассматривать контактную задачу с использованием теории В.З. Власова. Аналитическое решение контактного нагружения оболочки трубы через продольные ребра нерадимального направления рассмотрено впервые в настоящей работе.

2. Контактная нагрузка представляется в виде суммы тригонометрических функций, число которых для каждого ребра должно быть не менее 5. Каждая из этих функций разлагается в ряд по базисным решениям оболочки с удержанием не менее 100 членов ряда. При этом установлена сходимость: для $W-50$, T_1 и T_2 — 25, M_1 , M_2 — 100 членов.

3. Установлены эффект быстрого затухания моментного напряженного состояния оболочки и наличие концентрации напряжений под концами продольных ребер ($\kappa=4-6$).

4. С увеличением длины и углов обхвата трубы продольными ребрами возрастает жесткость узла и снижается уровень моментного напряженного состояния.

5. Определяющими напряжениями узла являются изгибные напряжения в кольцевом направлении, которые превосходят продольные в 1,5–2 раза. При диаметральной расположении продольных ребер мембранные и изгибные напряжения близки по величине.

ЛИТЕРАТУРА

1. С о б о л е в Ю.В., А л е ш и н Н.Н. Напряженно-деформированное состояние цилиндрической оболочки при приложении радиальной внешней нагрузки к продольному ребру. — Изв.вузов. Стр-во и архитектура, 1973, № 7, с. 39–45.
2. С о б о л е в Ю.В., М у р а ш к о Н.Н. К расчету напряженно-деформированного состояния узлов трубчатых ферм. — Изв.вузов. Стр-во и архитектура, 1975, № 11, с. 2–9.
3. В л а с о в В.З. Общая теория оболочек. — М.—Л., 1949, с. 849.
4. К расчету упругих замкнутых цилиндрических оболочек с нагрузкой в середине пролета, приложенной к продольно-радиальному ребру/Ю.В. С о б о л е в, Н.Н. А л е ш и н, Н.Н. М у р а ш к о, Р.А. П о п о в а. — Изв. вузов. Стр-во и архитектура, 1974, № 6, с. 55–61.